

Laser Blade

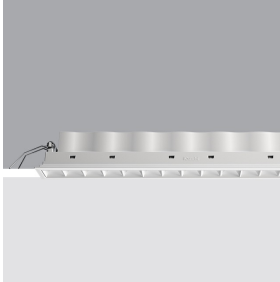
Design iGuzzini

iGuzzini

Última actualización de la información: Marzo 2025

Configuraciones productos: MK55.01

MK55.01: Empotrable de 15 celdas - LED - Neutral white - Flood - 33W 2529.4lm - 4000K - CRI 95 - Blanco



Código producto

MK55.01: Empotrable de 15 celdas - LED - Neutral white - Flood - 33W 2529.4lm - 4000K - CRI 95 - Blanco

Descripción

equipo miniaturizado empotrable rectangular con 15 elementos ópticos y fuentes LED - ópticas fijas - apertura flood. Cuerpo principal con superficie radiante de aluminio fundido a presión, versión con marco perimetral de tope. Ópticas de alta definición de termoplástico metalizado, integradas en posición retrasada en la pantalla antideslumbrante negra; la composición de la estructura del sistema óptico evita el efecto puntiforme, permite obtener una distribución lumínica definida y circular y genera una emisión con destello controlado. Incluye grupo de alimentación electrónico dimerizable DALI conectado a la luminaria. LED blanco neutral de alto índice de rendimiento cromático.

Instalación

empotrable con muelles de acero para falso techo de 1 a 25 mm - ranura de preparación 37 x 406

Colores

Blanco (01)

Peso (Kg)

0.86

Montaje

empotrable en la pared|empotrable en el techo

Equipo

en caja de alimentación con conexiones rápidas

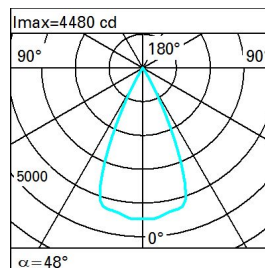
Se conforma con EN60598-1 y regulaciones pertinentes



Datos técnicos

| | | | |
|---|------|--------------------------------------|-------------------------------|
| Im de sistema: | 2529 | CRI (típico): | 97 |
| W de sistema: | 33 | Temperatura de color [K]: | 4000 |
| Im de la fuente: | 3050 | MacAdam Step: | 3 |
| W de la fuente: | 29 | Life time (vida útil) LED 1: | 50,000h - L90 - B10 (Ta 25°C) |
| Eficiencia luminosa (lm/W, valor del sistema): | 76.6 | Código de lámpara: | LED |
| Im en modo emergencia: | - | Número de lámparas por grupo óptico: | 1 |
| Flujo total de emisión en un ángulo de 90° o superior [Lm]: | 0 | Código ZVEI: | LED |
| Light Output Ratio (L.O.R.) [%]: | 83 | Número de grupos ópticos: | 1 |
| Ángulo de apertura del haz de luz [°]: | 48° | Control: | DALI-2 |
| CRI (mínimo): | 95 | | |

Polar

|  | Lux | | | |
|---|-----|-----|-----|------|
| | h | d | Em | Emax |
| | 2 | 1.8 | 938 | 1117 |
| | 4 | 3.6 | 234 | 279 |
| | 6 | 5.4 | 104 | 124 |
| $\alpha = 48^\circ$ | 8 | 7.1 | 59 | 70 |

CIE
nL 0.83
100-100-100-100-83
UGR <10-10

DIN
A.61

UTE
0.83A+0.00T
F*1=999
F*1+F*2=1000
F*1+F*2+F*3=1000

CIBSE
LG3 L<1500 cd/m² at 65°
UGR<10 | L<1500 cd/mq @65°

Coefficientes de uso

| R | 77 | 75 | 73 | 71 | 55 | 53 | 33 | 00 | DRR |
|------|----|----|----|----|----|----|----|----|-----|
| K0.8 | 75 | 71 | 68 | 66 | 70 | 68 | 68 | 65 | 78 |
| 1.0 | 78 | 75 | 72 | 70 | 74 | 72 | 71 | 69 | 83 |
| 1.5 | 82 | 79 | 77 | 76 | 79 | 77 | 76 | 74 | 89 |
| 2.0 | 85 | 83 | 81 | 80 | 82 | 80 | 79 | 77 | 93 |
| 2.5 | 86 | 85 | 84 | 83 | 84 | 83 | 82 | 79 | 96 |
| 3.0 | 87 | 86 | 85 | 85 | 85 | 84 | 83 | 81 | 98 |
| 4.0 | 88 | 87 | 87 | 86 | 86 | 86 | 84 | 82 | 99 |
| 5.0 | 89 | 88 | 88 | 88 | 87 | 86 | 85 | 83 | 100 |

Diagrama UGR

| Corrected UGR values (at 3050 lm bare lamp luminous flux) | | | | | | | | | | | |
|---|------|------------------|------|------|------|------|----------------|------|------|------|------|
| Reflect.: | | | | | | | | | | | |
| ceiling/cav | | 0.70 | 0.70 | 0.50 | 0.50 | 0.30 | 0.70 | 0.70 | 0.50 | 0.50 | 0.30 |
| walls | | 0.50 | 0.30 | 0.50 | 0.30 | 0.30 | 0.50 | 0.30 | 0.50 | 0.30 | 0.30 |
| work pl. | | 0.20 | 0.20 | 0.20 | 0.20 | 0.20 | 0.20 | 0.20 | 0.20 | 0.20 | 0.20 |
| Room dim | | viewed crosswise | | | | | viewed endwise | | | | |
| x | y | | | | | | | | | | |
| 2H | 2H | 2.0 | 2.5 | 2.3 | 2.7 | 3.0 | 2.0 | 2.5 | 2.3 | 2.7 | 3.0 |
| | 3H | 1.9 | 2.3 | 2.2 | 2.6 | 2.9 | 1.9 | 2.3 | 2.2 | 2.6 | 2.9 |
| | 4H | 1.8 | 2.2 | 2.2 | 2.5 | 2.8 | 1.8 | 2.2 | 2.2 | 2.5 | 2.8 |
| | 6H | 1.8 | 2.1 | 2.1 | 2.5 | 2.8 | 1.8 | 2.1 | 2.1 | 2.4 | 2.8 |
| | 8H | 1.7 | 2.1 | 2.1 | 2.4 | 2.7 | 1.7 | 2.1 | 2.1 | 2.4 | 2.7 |
| | 12H | 1.7 | 2.0 | 2.1 | 2.4 | 2.7 | 1.7 | 2.0 | 2.1 | 2.4 | 2.7 |
| 4H | 2H | 1.8 | 2.2 | 2.2 | 2.5 | 2.8 | 1.8 | 2.2 | 2.2 | 2.5 | 2.8 |
| | 3H | 1.7 | 2.0 | 2.1 | 2.4 | 2.7 | 1.7 | 2.0 | 2.1 | 2.4 | 2.7 |
| | 4H | 1.6 | 1.9 | 2.0 | 2.3 | 2.7 | 1.6 | 1.9 | 2.0 | 2.3 | 2.7 |
| | 6H | 1.5 | 1.8 | 1.9 | 2.2 | 2.6 | 1.5 | 1.8 | 1.9 | 2.2 | 2.6 |
| | 8H | 1.5 | 1.7 | 1.9 | 2.1 | 2.6 | 1.5 | 1.7 | 1.9 | 2.1 | 2.6 |
| | 12H | 1.4 | 1.6 | 1.9 | 2.1 | 2.5 | 1.4 | 1.6 | 1.9 | 2.1 | 2.5 |
| 8H | 4H | 1.5 | 1.7 | 1.9 | 2.1 | 2.6 | 1.5 | 1.7 | 1.9 | 2.1 | 2.6 |
| | 6H | 1.4 | 1.6 | 1.8 | 2.0 | 2.5 | 1.4 | 1.6 | 1.8 | 2.0 | 2.5 |
| | 8H | 1.3 | 1.5 | 1.8 | 2.0 | 2.5 | 1.3 | 1.5 | 1.8 | 2.0 | 2.5 |
| | 12H | 1.3 | 1.4 | 1.8 | 1.9 | 2.4 | 1.3 | 1.4 | 1.8 | 1.9 | 2.4 |
| 12H | 4H | 1.4 | 1.6 | 1.9 | 2.1 | 2.5 | 1.4 | 1.6 | 1.9 | 2.1 | 2.5 |
| | 6H | 1.3 | 1.5 | 1.8 | 2.0 | 2.5 | 1.3 | 1.5 | 1.8 | 2.0 | 2.5 |
| | 8H | 1.3 | 1.4 | 1.8 | 1.9 | 2.4 | 1.3 | 1.4 | 1.8 | 1.9 | 2.4 |
| Variations with the observer position at spacing: | | | | | | | | | | | |
| S = | 1.0H | 6.9 / -18.0 | | | | | 6.9 / -18.0 | | | | |
| | 1.5H | 9.7 / -18.3 | | | | | 9.7 / -18.3 | | | | |
| | 2.0H | 11.7 / -18.4 | | | | | 11.7 / -18.4 | | | | |